

## ОПРЕДЕЛЕНИЕ СОДЕРЖАНИЯ Au В ПРОБАХ С ИСПОЛЬЗОВАНИЕМ $(\gamma,\gamma')$ РЕАКЦИИ И ИНТЕГРАЛЬНЫХ СЕЧЕНИЙ

Э.Л. Купленников<sup>1),</sup> С. Н. Афанасьев<sup>1),</sup> В.В. Красильников<sup>2)</sup>

<sup>1)</sup>Национальный научный центр «Харьковский физико-технический институт»  
ул. Академическая 1, 61108 Kharkov, Ukraine  
e-mail: kupl@kipt.kharkov.ua

<sup>2)</sup>Белгородский Государственный Университет, ул. Победы 85, 308015 Белгород, Россия  
e-mail: kras@bsu.edu.ru

Рассмотрена возможность применения ускорителя электронов (УЭ) для анализа рудных проб на золото. Результаты основаны на использовании  $^{197}\text{Au}(\gamma,\gamma')^{197m}\text{Au}$  реакции, экспериментальных интегральных сечений возбуждения изомера активационными уровнями и моделирования по методу Монте-Карло (GEANT3.21).

**Ключевые слова:** электронный ускоритель, фотонны, неупругое рассеяние, фотовозбуждение, гамма-активационный анализ, золото, изомер, геологические пробы, концентрация, чувствительность анализа.

### Введение

Золото (Au) – редкий металл. Поэтому для определения концентрации Au в геологических пробах при поисках, разведке и разработке месторождений необходимо использовать методы с максимальной чувствительностью, точностью, экономичностью и высокой производительностью. Примером успешного решения данной задачи является применение для анализа нейтронно- и гамма-активационной методик:

а) Методика, использующая  $^{197}\text{Au}(\text{n},\gamma)^{198}\text{Au}$  реакцию. Активация образцов осуществляется резонансными нейтронами. Методика разработана и применена в работе [1]. Нейтроны получены на микротроне МТ-16 при энергии электронов  $E_e = 16$  МэВ и среднем токе  $I_e = 25$  мА. Предел обнаружения Au не хуже 0.1 г/т. Время облучения  $t_{int} \sim 10$  часов и охлаждения  $t_c \sim 95$  часов. Производительность метода 264 анализа в сутки.

б) Методика, использующая реакцию  $^{197}\text{Au}(\text{n},\gamma)^{198}\text{Au}$ . Активация осуществляется тепловыми нейтронами. Данная методика применена в [2]. Показано, что использование микротрона с энергией 20-24 МэВ и током  $I_e = 15$  мА обеспечивает анализ проб на содержание Au с пределом обнаружения  $\geq 0.1$  г/т. Чувствительность анализа падает, если в образцах много Na, Mg, Sb, As. Время  $t_{int} \sim 2$  часа и  $t_c \sim 24$  часа. Производительность метода ~ 40 анализов в смену.

в) Наибольшая чувствительность нейтронно-активационного анализа  $\leq 10^{-9}$  г/г достигается на ядерных реакторах. Реактор мощностью 1 МВт обеспечивает поток нейтронов  $\geq 10^{13}$  см<sup>-2</sup>с<sup>-1</sup>. При этом ~ 90-95% потока составляют тепловые нейтроны. Такой анализ, однако, имеет ограниченное применение из-за мощного фона наведенной активности в элементах матрицы.

г) Методика, использующая реакцию  $^{197}\text{Au}(\gamma,\gamma)^{196}\text{Au}$ . Активация проводится тормозными фотонами. В работе [3] данная методика задействована для определения содержания Au в рудах Украины. С этой целью использовался линейный УЭ (ЛУЭ), работающий в диапазоне энергий 16-25 МэВ, токов 0.1-1 мА и временем облучения от 1 часа до нескольких дней. Достигнут порог детектирования Au 0.03-0.1 г/т для большинства исследованных руд за исключением образцов с высоким содержанием Mn, где порог оказался 1-1.5 г/т. Масса облучаемых проб  $M_{np} \leq 500$  г. Время охлаждения ~ 5-10 часов. Производительность метода ~ 50 анализов в смену.

д) Методика, использующая  $^{197}\text{Au}(\gamma,\gamma')^{197m}\text{Au}$  реакцию (период полураспада  $^{197m}\text{Au } T_{1/2} = 7.73$  с; энергия изомерного состояния 409.1 кэВ, регистрируемая  $\gamma$ -линия спектра  $E_\gamma = 279.0$  кэВ). Активация образцов осуществляется тормозными фотонами. Ниже даны примеры наиболее информативных исследований. В работе [4] анализы выполнены на ЛУЭ при  $E_e = 4.2$  МэВ и  $I_e = 50\text{-}65$  мкА. Время  $t_{irr} \sim 47$  с. Пороговая чувствительность определения содержания золота, рассчитанная для случая 99.7% доверительной вероятности, 30 г/т. Практическое применение метода рассмотрено в [5], где применен микротрон МТ-13. Энергия  $E_e = 6$  МэВ,  $I_e = 80$  мкА,  $M_{np} = 50\text{-}130$  г. Время  $t_{irr}$ ,  $t_c$  и время измерения  $t_m = 30, 3$  и 20 с соответственно. Порог детектирования Au  $\sim 1$  г/т. В работе [6] анализ проведен на микротроне МТ-16 при энергии  $E_e = 9$  МэВ и  $I_e = 30$  мкА. Вес образцов 100-200 г. Время  $t_{irr}$ ,  $t_c$  и  $t_m = 18, 3$  и 18 с соответственно. Пороговая чувствительность определения золота в пробах руд кварц-карбонатного состава, руд с большим содержанием сульфидных минералов и руд с повышенным содержанием естественных радиоактивных элементов получена 3, 7 и 5 г/т соответственно.

На базе перечисленных выше лабораторных исследований создан действующий промышленный фотоядерный аналитический комплекс «Аура» [7]. Применение ЛУЭ с энергией 8 МэВ, навески 500 г, состоящей из дробленой породы с диаметром частиц  $\sim 1$  мм, времени  $t_{irr}$ ,  $t_c$  и  $t_m = 15, 3$  и 15 с соответственно, двух однокристальных  $\gamma$ -спектрометров NaJ(Tl) диаметром 150 и высотой 100 мм обеспечивает предел определения золота 0.2-0.5 г/т в рудах различного состава. Проектная производительность комплекса 400 образцов в смену.

В 1992 г. на тормозном пучке ЛУЭ S-DALINAC проведены детальные исследования короткоживущих изомеров, включая Au, в интервале граничных энергий тормозного спектра  $E_{\gamma\max} = 2\text{-}7$  МэВ [8]. В результате найдены 4 активационных уровня, дающих наибольший вклад в заселение изомера, их энергии возбуждения  $E_j$ , а также интегральные сечения возбуждения изомера через  $j$ -ый активационный уровень. Оказалось, что величины интегральных сечений  $\geq 10^{-26}$  см $^2$  кэВ, что в 1000 раз больше, чем в большинстве исследованных ранее  $(\gamma,\gamma')$  реакций. Полученные результаты давали возможность оценить количество активированных ядер  $^{197m}\text{Au}$ , которые образовались в результате облучения исследуемого материала, по новой методике.

Проведенный нами анализ результатов [4-7] показал, что наблюдается заметный разброс в выборе основных параметров анализа: энергия электронов  $E_e = 4.2\text{-}9$  МэВ, масса проб  $M_{np} = 10\text{-}500$  г, время облучения  $t_{irr} = 2T_{1/2}\text{-}6T_{1/2}$  и т.д. Поэтому в настоящей работе рассмотрена возможность применения УЭ для экспресс-анализа природных и технологических материалов на наличие золота с учетом результатов экспериментальных и теоретических исследований, данных о числе и энергии активационных уровней, интегральных сечениях возбуждения изомера  $^{197m}\text{Au}$  через активационные уровни, а также достижений в области оптимизации.

### 1. Выбор рабочих параметров

При определении оптимальных условий проведения активационного анализа важную роль играет селективность, т.е. способность анализа выделять ядра искомого элемента на фоне остальных ядер, присутствующих в образце. На Рис. 1 [9] показана зависимость удельной селективности обнаружения золота в кварцевой породе от граничной энергии тормозного спектра  $E_{\gamma\max}$  для четырех значений времени облучения. Кривые 1-4 соответствуют  $t_{irr} = T_{1/2}, 3T_{1/2}, 5T_{1/2}, 7T_{1/2}$ .

Видно, что наибольшая удельная селективность наблюдается при  $E_{\gamma\max} = 8.5$  МэВ для любых  $t_{irr}$  и растет с уменьшением времени активации. Из последнего утверждения вовсе не следует, что наилучшие условия для анализа будут обеспечены малым  $t_{irr}$ .

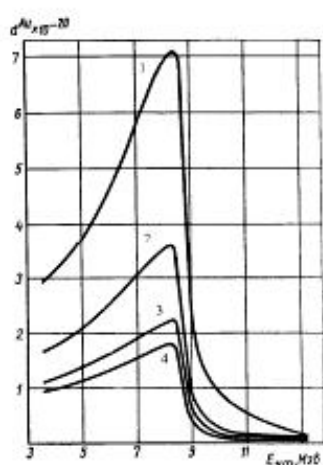


Рис. 1. Зависимость удельной селективности Au от  $E_{\max}$

Предлагаемое размещение активационного оборудования на выходе УЭ представлено на рис. 2. Обозначения на рисунке: 1, 4 – фольги из Ti по 50 мкм каждая; 2 – два слоя воды по 1.5 мм; 3 – конвертор из Au; 5 – слой воздуха 5 мм; 6 – золотосодержащая смесь; 7 – Al контейнер, 8 – крышка из полиэтилена.

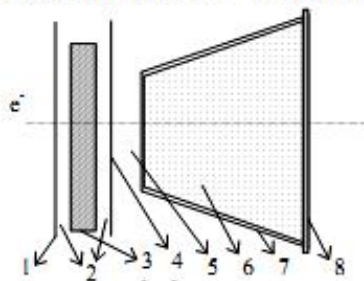


Рис. 2. Блок-схема активационного оборудования

расчета (диаметра кристалла  $\gamma$ -спектрометра), а высота конуса – в предположении, что средняя длина свободного пробега фотона  $L = 1/\mu_i$ , где  $\mu_i$  – линейный коэффициент ослабления  $\gamma$ -излучения в веществе, с энергией 279.0 кэВ больше толщины золотосодержащей смеси в контейнере.

Доставка активированного образца к  $\gamma$ -спектрометру может быть решена тремя способами. 1. Использовать пневмотранспортную систему. 2. Применить прецизионный транспортер, который доставит образец к детектору и одновременно установит очередную пробу на место облучения. 3. Сбрасывать контейнер в вертикальный канал (см. описание в [7]), ведущий к блоку измерения. Отключение УЭ во время охлаждения и измерения даст возможность убрать основной  $\gamma$ -фон элементов матрицы образца и электромагнитные помехи во время регистрации спектра остаточной активности.

## 2. Выход реакции

В работе предполагалось, что золото находится в породе, состоящей из двуокиси кремния  $\text{SiO}_2$ . Это связано с тем, что практически любой геологический образец содержит в своем составе кремний и кислород. Окиси и силикаты Na, Mg, Al, Ca, Fe, J составляют почти 99% руд земной коры [3].

Для вышеописанных параметров внутренний объем контейнера равен 97.39 см<sup>3</sup>. При плотности измельченного образца 0.8 г/см<sup>3</sup> (средняя плотность золотосодержащей смеси [2]), вес содержимого контейнера 77.9 г, а масса золота (при условии его содержания в смеси 1 г/т) 0.779×10<sup>-4</sup> г, что соответствует числу ядер золота на см<sup>2</sup>  $N_{Au}^{Av} = N_7 = 0.979 \times 10^{16}$ .

Число активированных ядер  $N_f$  находилось, используя выражение для нормированного выхода реакции  $(\gamma, \gamma')$  [10]:

$$Y(E_{\gamma max}) = \frac{N_f}{N_f N_e} = \sum_j (\sigma \Gamma)_{iso}^j N(E_j, E_{\gamma max}), \quad (1)$$

где  $N_e$  – число электронов, прошедших через конвертор,  $(\sigma \Gamma)_{iso}^j$  – интегральное сечение возбуждения изомера через промежуточный уровень  $j$ ,  $N(E_j, E_{\gamma max})$  – спектральная интенсивность фотонного поля в единичном интервале энергий для  $E_{\gamma max}$ . Величина  $N(E_j, E_{\gamma max})$  рассчитывалась для индивидуальной геометрии облучения в коде GEANT3.21. Оценка  $N_f$  выполнена со статистикой 10<sup>6</sup>, интервалом группирования 10 кэВ и экспериментальными интегральными сечениями [8], приведенными в табл. Согласно (1) число возбужденных ядер в изучаемой реакции  $^{197}\text{Au}(\gamma, \gamma')^{197m}\text{Au}$  равно 7822.

Таблица

#### Активационные уровни и интегральные сечения.

$E_j, \text{Мэв}$	$(\sigma \Gamma)_{iso}^j, (10^{-29} \text{ см}^2 \text{ кэВ})$
1.7±0.3	70±30
2.5±0.1	500±50
3.2±0.1	4500±500
4.2±0.2	20000±4000

### 3. Эффективность системы

Для оценки числа  $\gamma$ -квантов с  $E_\gamma = 279.0$  кэВ, которые реально будут зарегистрированы  $\gamma$ -спектрометром, необходимо ввести поправки на наложение импульсов, расчеты и эффективность системы. В качестве детектирующей системы рассматривался спектрометрический блок 6931-20 с блоком БДЭГ2-39 и кристаллом NaJ(Tl) 150×100 мм.

В случае, когда учитываются только события с полным поглощением энергии, полная эффективность равна [11]:

$$\varepsilon_{\pi} = \varepsilon_{geom} \varepsilon_{pogr} \varepsilon_{obr} \varepsilon_{sof}, \quad (2)$$

где  $\varepsilon_{geom}$  – доля от полного числа фотонов, вылетающих в телесный угол  $4\pi$ , попадающих на детектор.  $\varepsilon_{geom}$  – получена путем математического моделирования. Поверхность NaJ(Tl) относительно поверхности пробы находилась на расстоянии 3 мм. Согласно расчета, на кристалл диаметром 150 мм попадает 34.7%  $\gamma$ -квантов с  $E_\gamma = 279.0$  кэВ, т.е.  $\varepsilon_{geom} = 0.347$ .

$\varepsilon_{pogr}$  – учитывает влияние промежуточных материалов, которые поглощают часть излучения перед тем, как фотоны попадут на детектор. Математический вид коэффициента:

$$\varepsilon_{pogr} = \exp[-\sum_i \mu_i(E_\gamma) \rho_i x_i], \quad (3)$$

где  $\mu_i$ ,  $\rho_i$  и  $x_i$  – массовый коэффициент поглощения, плотность и толщина  $i$ -го промежуточного материала.

Чтобы попасть на детектор, фотон с энергией 279.0 кэВ должен пройти 1 мм полизтилена, слой воздуха 1 мм и Al фольгу толщиной 1 мм. Массовые коэффициенты поглощения и плотность элементов взяты в [12,13]. В результате  $\varepsilon_{pogr} = 0.96$ .

$\varepsilon_{obr}$  – доля  $\gamma$ -квантов, излученных самим образцом, реально покидающих исследуемый материал. Согласно [11]:



$$\varepsilon_{OBR} = \frac{1 - \exp[-(\mu\rho x)]}{(\mu\rho x)}, \quad (4)$$

где  $\mu$ ,  $\rho$  и  $x$  – массовый коэффициент поглощения, плотность и толщина материала. В данной работе считается, что смесь элемента, испускающего  $\gamma$ -излучение, с элементами матрицы образца, достаточно равномерна и однородна по составу и плотности. Кроме того, частицы, испускающие фотоны, малы и поэтому самоослабление внутри отдельных частиц пренебрежимо мало. Эти требования гарантируют, что линейный коэффициент ослабления имеет одно значение в достаточно большом диапазоне и его можно использовать для количественного расчета. Оценка  $\varepsilon_{OBR}$  проведена с массовым коэффициентом поглощения и плотностью [12,13] для химического соединения  $SiO_2$ . Величина  $\varepsilon_{OBR} = 0.72$ .

$\varepsilon_{COP}$  – вероятность того, что  $\gamma$ -квант, который попадает в детектор, даст импульс в пик полного поглощения. Простейшим образом эту эффективность можно получить из стандартной формулы поглощения, которая не учитывает тот факт, что пик полного поглощения может также содержать события многократного комптоновского рассеяния:

$$\varepsilon_{COP} = 1 - \exp(-\mu\rho x), \quad (5)$$

где  $\mu$  – массовый коэффициент ослабления,  $\rho$  ( $x$ ) – плотность (толщина) чувствительного материала детектора.

Массовый коэффициент поглощения рассчитан для химического соединения  $NaJ$ , поскольку примесь  $Tl$  в сцинтилляционном кристалле  $NaJ(Tl) \sim 0.1\%$  и его вклад в величину  $\mu$  пренебрежимо мал. Плотность  $NaJ$   $3.67 \text{ г}/\text{см}^3$  взята в [14]. В результате  $\varepsilon_{COP} = 0.99$ .

Таким образом полная эффективность детектирующей системы  $\varepsilon_{D} = 0.237$ . Поправки на наложение импульсов и просчеты не учитывались.

#### 4. Обсуждение результатов

Известное количество активированных ядер  $N_f$  позволяет оценить число реальных фотонов в плохости фотопика  $S_\gamma$ , которые будут зарегистрированы  $\gamma$ -спектрометром. Для этого необходимо ввести [9, 14] поправки, учитывающие распад ядер за время облучения  $(1 - e^{-\lambda t}) = 0.76$ , охлаждения  $e^{-\lambda t} = 0.76$ , измерения  $(1 - e^{-\lambda t}) = 0.82$ , поправку, связанную с интенсивностью  $\gamma$ -линии  $L_\gamma = 0.71$ , полную эффективность детектора  $\varepsilon_{D} = 0.237$ , а также зависимость от постоянной распада  $\lambda = 0.0897$ . В результате  $S_\gamma \sim 7000$ .

Таким образом, при энергии электронов  $8.7 \text{ МэВ}$  и среднем токе  $1 \text{ мА}$  количество фотонов с энергией  $279.0 \text{ кэВ}$ , которое должен в идеальном случае зарегистрировать детектор после облучения пробы с содержанием  $Au$   $1 \text{ ppm}$ ,  $\sim 7000$ , а при концентрации  $0.1 \text{ г}/\text{т}$   $S_\gamma \sim 700$ . Кроме того, расчеты свидетельствуют о возможности надежного определения минимальной концентрации золота для промышленного сырья  $\sim 1 \text{ г}/\text{т}$  [7] при снижении тока до величины  $50 \text{ мкA}$  ( $S_\gamma \sim 350$ ). Полученные результаты согласуются с данными работ [6,7].

Чувствительность анализа может быть улучшена, если увеличить массу пробы до  $\sim 500 \text{ г}$ , использовать два однокристальных  $\gamma$ -спектрометра  $NaJ(Tl)$  или применять полупроводниковые  $\gamma$ -детекторы из сверхчистого германия с большим чувствительным объемом.

#### Выходы

Представленные результаты основаны на использовании экспериментальных интегральных сечений возбуждения изомера золота через активационные уровни и мате-

матического моделирования по методу Монте-Карло (код GEANT3.21). Показано, что предложенный метод оценки выхода ядер  $^{197m}\text{Au}$  для обнаружения золота в природных и технологических материалах, дает разумные результаты, согласующиеся с экспериментальными данными, и может быть использован для практического применения.

#### Литература

- Белов, А.Г. Методика определения содержания золота в геологических образцах с использованием резонансных нейтронов [Текст] / А.Г. Белов и др. // Препринт ОИЯИ 18-80-841. Дубна. 9 с.
- Зузаан, П. Методика определения золота в золотосодержащих образцах с использованием замедленных нейтронов [Текст] / П. Зузаан, Б. Отгоолой, З. Дамдинсурен // Письма в ЭЧАЯ. 2005. Т. 2. № 6(129). С. 58-63.
- Dikiy, N.P. Use of accelerators in geology, medicine, isotopes production and atomic-power energetics [Текст] / N.P. Dikiy, A.N. Dovbnya, N.A. Skakun et al. // Problems of Atomic Science and Technology. 2001. № 1. Series: Nucl. Phys. Invest. (37). P. 26-35.
- Аббосов, О. Гамма- и нейтронно-активационный анализ с применением ускорителя электронов на 4,2 МэВ [Текст] / О. Аббосов, С. Кодири, Л.П. Старчик // Сб. Ядернофизические методы анализа веществ. 1971. М. Атомиздат. С. 244-250.
- Берзин, А.К. Практические возможности применения реакции неупругого рассеяния  $\gamma$ -квантов для элементного анализа пород и руд. [Текст] / А.К. Берзин, Ю.В. Груздев, В.В. Сулин // Сб. Ядернофизические методы анализа веществ. 1971. М. Атомиздат. С. 236-244.
- Капица, С.И. О применении микротрона для экспрессного  $\gamma$ -активационного анализа рудных проб на золото [Текст] / С.И. Капица, Ю.Т. Мартынов, В.В. Сулин, Ю.М. Ципенюк // Атомная Энергия. 1973. Т. 34. Вып. 3. С. 199-200.
- Бурмистренко, Ю.Н. Фотоядерный анализ состава вещества. [Текст] / Ю.Н. Бурмистренко // 1986. М. Энергоатомиздат. 200с.
- Collins, C.B. Common threshold and role of deformations in the photoexcitation of isomers [Текст] / C.B. Collins, J.J. Carroll, K.N. Taylor et al. // Phys. Rev. C. 1992. V. 46. N. 3. P. 952-960.
- Давыдов, М.Г. Селективность  $\gamma$ -активационного анализа [Текст] / М.Г. Давыдов, В.А. Щербаченко // Атомная Энергия. 1969. Т. 27. Вып. 3. С.205-208.
- Shevchenko, O.S. Excitation of isomer in  $^{115}\text{In}(\gamma, \gamma')^{115m}\text{In}$  reaction [Текст] / O.S. Shevchenko, A.N. Dovbnya, E.L. Kuplennikov et al. // Problems of Atomic Science and Technology. Series: Nuclear Physics Investigation. 2005. 6(45). P. 30-34.
- Passive Nondestructive Assay of Nuclear Materials. Edited by D. Reilly, N Ensslin, H. Smith and S. Kreiner, 1991. 436 p.
- О.Ф. Немец, Ю.В. Гофман Справочник по ядерной физике. Киев. Наукова Думка. 1975. 415 с.
- Eidelman, S. Particle Physics booklet. [Текст] / S. Eidelman et al. // Phys. Lett. B. V.592. No 1. 320 p.
- Yhiem, T.D. Activation method for measurement of bremsstrahlung photon flux produced by electron accelerator [Текст] / T.D. Yhiem, T.T. An, T.D. Phu et al. // Письма в ЭЧАЯ. 2005. Т. 2. № 4. С. 53-59.

#### FINDING CONTENT OF Au IN SAMPLES BY $(\gamma, \gamma')$ <sup>m</sup> REACTIONS AND INTEGRAL SECTIONS

E.D. Kuplennikov<sup>1)</sup>, S.N. Afanas'ev<sup>1)</sup>, V.V. Krasil'nikov<sup>2)</sup>

<sup>1)</sup>National Science Center "Kharkov Institute of Physics and Technology",

Akademicheskaya St. 1, 61108 Kharkov, Ukraine

e-mail: kupl@kipt.kharkov.ua

<sup>2)</sup>Belgorod State University, Pobeda St. 85, 308015 Belgorod, Russian

e-mail: kras@bsu.edu.ru

In this work, it is considered the possibility of applying an electron accelerator to control gold test in ore samples. The results are based on the  $^{197}\text{Au}(\gamma, \gamma')^{197m}\text{Au}$  reaction, experimental integral sections of isomer excitation by activation levels and Monte-Carlo modeling (GEANT3.21).

**Key words:** electron accelerator, photons, inelastic scattering, photoexcitation, gamma-activation analysis, gold, isomer, geological sample, concentration, analysis sensibility.